

簡単でかつ再現性もよいことが判明した。次に測定値の精度を調べるために、比較の意味で輪環法によつてもスラグの表面張力の測定を行なつたところ、液滴重量法による測定値の精度はかなり高いことが示された。

溶融スラグの表面張力は CaO を多量に含む低水素系のものが 511 dyne/cm で最も大きく、次いで TiO<sub>2</sub> の高いルチール系、SiO<sub>2</sub> の高いイルミナイト系 No. 3 であつた。また本法により軟鋼心線の表面張力を測定した結果、999 dyne/cm の値を得た。

本研究遂行にあたり、富士溶接棒（株）の中山浩氏には試料の準備、溶接棒の性能試験などのデーターの供出をいただいた。ここに感謝の意を表します。

### 文 献

- 1) S. B. YAKOBASHVILI and I. I. FRUMIN: Avtomat. Svarka, 14 (1961), p. 14
- 2) 関根: 表面張力測定法, (1957), [理工図書]
- 3) W. D. HARKINS and H. F. JORDAN: J. Am. Chem. Soc., 52 (1930), p. 1756
- 4) W. D. KINGERY and M. HUMENIK: Jr. J. Phys. Chem., 57 (1935), p. 359
- 5) T. H. HAZLETT: Weld. J., 36 (1957), p. 18a

### (191) 既知の固定相および担体の適用性について

(霧囲気中の微量NH<sub>3</sub>のガスクロマトグラフィーによる定量—I)

富士製鉄、中央研究所

工博 堀籠健男・工博○山崎桓友・矢部克彦  
On Applicability of the Stationary Liquids and Supports which were Reported in Literature to Metallurgical Field.

(Application of the gaschromatography to the determination of a minute amount of NH<sub>3</sub> in gaseous atmosphere—I)

Dr. Takeo HORIGOME, Dr. Taketomo YAMAZAKI and Katsuhiko YABE.

Table 1. Summarization of stationary liquid and support for NH<sub>3</sub>, presented in literature.

Stationary liquid	Support	Length	Temp.	Carrier gas	Reference
1 Polyethylene glycol 400	—	—	—	—	
" " 600	C-22(60-80mesh)	40"	—	He	2)
2 Triethanolamine	—	—	—	—	
3 n-hendecanol	cellite 545	—	78.5°C	He	3)
4 o-toluidine	C-22(30-40mesh)	6'	room temp.	He	4)
5 Polyethylene glycol 1,000	—	—	—	—	5)
6 α-naphthylamine	—	—	—	—	
7 TCP	—	—	—	—	
8 Cetylalcohol	—	—	—	—	4)
9 1-hexadecanol	C-22(30-40mesh)	—	—	—	4) 6)
	teflon powder quartz powder				

### 1. 緒 言

気体雾囲中に混在する微量 NH<sub>3</sub> の定量分析は、これまでネスラー法を主体としたインドフェノール法、コンウェイ法<sup>1)</sup>等によつてきたが、数 100~数 1000 ppm の量の NH<sub>3</sub> の測定にはあまりにも感度が高いので不便である。また連続的な工程に応用する場合には必ずしも適当とは言えない面がある。

近年、ガスクロマトグラフィーを製造・加工冶金分野に応用する機運が高まりつつあるが NH<sub>3</sub> の定量も同法によつて実施できるならば、極めて有効な手段ということができよう。

ガスクロマトグラフィーによる NH<sub>3</sub> の定量法については、Table 1 に示すような測定法が提出されているが、ここに示されている固定相および担体のガスクロマトグラフィーを上記の分野に適用した報文はほとんど見当らない。

本報告は、これらの固定相および担体の適用性について比較実験をおこない、気体雾囲気中の微量 NH<sub>3</sub> の定量分析の可能性を追及したものである。

### 2. 実験方法

測定機器は市販のガスクロマトグラフを使用した。分離方式は流出ガスクロマトグラフ法-気-液クロマトグラフ(分配型)で、検知型式は熱伝導度方式である。固定相のカラムはステンレス鋼製で、必要に応じて単位長(500~1000 mm)の倍数に連結し、延長して使用した。特に断らないかぎり全長は 1000 mm である。検知回路の電子管式記録計の感度は最高 2 mV, プリアンプリファイアを併用すれば 62.5 μV まで上げることができ、チャートのフルスケールは 200 mm である。キャリヤーガスは He および H<sub>2</sub>, 流量は 30~50 cm<sup>3</sup>/min, カラムおよび検知器セルの温度は、それぞれ常温から 100°C とし、ブリッジ電流は 150 mA 一定とした。

NH<sub>3</sub> ガス採取量は、ガスクロマトグラフ付属のガスサンプラーと当研究室製の微量ガスピュレットとを併用し、本実験の場合は主に 1.12 と 4.95 cm<sup>3</sup> の標準容量のものである。

NH<sub>3</sub> ガスは市販のポンベ NH<sub>3</sub> を KOH (固体) で脱水・精製して実験に供した。

### 3. 実験結果とその考察

#### 3.1 ガスクロマトグラフにおよぼす担体の影響

固定相をトリエタノールアミンとして、20%(重量%)

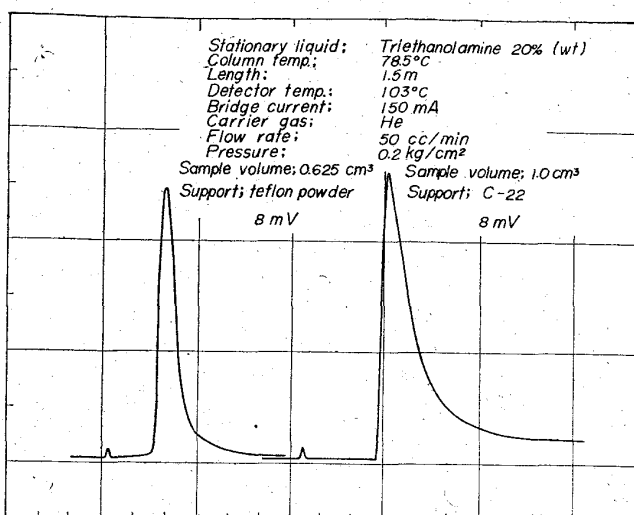


Fig. 1. Comparison of gaschromatographs obtained showing different forms.

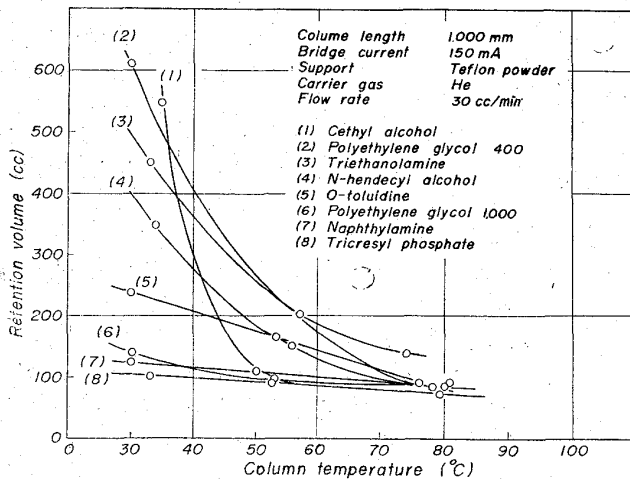


Fig. 2. Relation between retention volume and column temperature.

の割合で各担体に付着させてガスクロマトグラフをもとめた。測定条件は前節で記したほかはカラム温度 78.5°C、検知セル温度 103°C、NH<sub>3</sub> ガス採取量 1.12 cm<sup>3</sup> である。この結果は Fig. 1 に示すとおりである。

図から明らかなように、保持容量にはあまり大きな相異がみとめられないのに、珪藻土類の担体は全般的にテーリングが大きく、またシャープなグラフを描かないのに対して、テフロン類の担体はかなり良好な結果を示しており、しかも対称性もよい。

### 3.2 固定相の影響

3.1 の結果から、固定相の担体としてテフロンを用いることとし、固定相の影響をもとめることとした。Fig. 2 は、Table 1 に掲げた固定相についてガスクロマトグラフの保持容量とカラム温度との関係をもとめたものである。

一般に、カラム温度の低いほど NH<sub>3</sub> に対する分離能が高まる傾向にあり、固定相の種類に対しては、i) ポリエチレンギリコール #400、ii) トリエタノールアミン、

Table 2. Measurement condition.

### Column

Stationary liquid	Polyethylene glycol #1000		
Support	Shimalite F		
Length	1 m		
Temperature	45°C		
Detector temperature	45°C		
Bridge current	150 mA		
Carrier gas	He		
Flow rate	50 cc/min		
Pressure	0.4 kg/cm <sup>2</sup>		

### Relation between peak area and sample gas volume.

Span voltage	1.12 cc(X)				4.95 cc(X)			
	Y	S	Y/X	Z	Y	S	Y/X	Z
256 mV	—	—	—	—	69.2	3.5	—	1.00
128	—	—	—	—	137.8	11.0	—	1.99
64	44.9	4.4	40.1	1.00	269.7	4.9	54.5	3.90
32	94.0	2.3	83.9	2.09	542.3	11.9	109.6	7.84
16	170.7	6.7	—	3.80	—	—	—	—
8	327.7	33.0	—	7.30	—	—	—	—

X. Sample volume

Y. Average of peak area (mm<sup>2</sup>)

S. Sample standard deviation

Z. Twice the number

iii) n-ヘンデカノール、iv) o-トルイシン、v) ポリエチレンギリコール #1000、vi) ナフタルアミン、vii) トリクロレシルフォスホートの順に分離能は低下する。セシリアルアルコールはこれら一連の固定相とことなり、カラム温度の影響をもつともうけやすいように思われる。

### 3.3 ポリエチレンギリコール #1000-テフロンによる測定結果

以上の結果にもとづいて、ポリエチレンギリコール (#1000)-テフロンの検量線をもとめた、NH<sub>3</sub> ガス採取量は 1.12 および 4.95 cm<sup>3</sup> である。

Table 2 は各スパン電圧におけるガスクロマトグラフのピーク面積（ピークの半価幅×高さ）（Y）の平均値と標本標準偏差（S）を、それぞれの NH<sub>3</sub> ガス採取量について示したものである。スパン電圧は 2 倍宛増加させてあるので、ピーク面積（Y）はそのように倍増することが望ましい。（Y/X）は NH<sub>3</sub> ガス採取量の単位容積当りの平均ピーク面積をあらわし、理論的には X-Y 関係の勾配をあたえると同時に原点をとおらなければならない。スパン電圧の増加にともなうピーク面積の増分は、先にものべたように倍増しなければならないが、実際は、Z に示すように必ずしも比例増していない、表には、1.12 cm<sup>3</sup> の場合スパン電圧 64 mV を 1 とし、4.95 cm<sup>3</sup> では 256 mV を 1 として、これらの関係を示したが、Z は Z'' の関係を示さない上、その偏移は NH<sub>3</sub> ガス採取量の少ないほど、またスパン電圧の低いほど大きくなっている。さらに注意してみると、このことは標準偏差（S）の大きさによく対応しており、この間に何

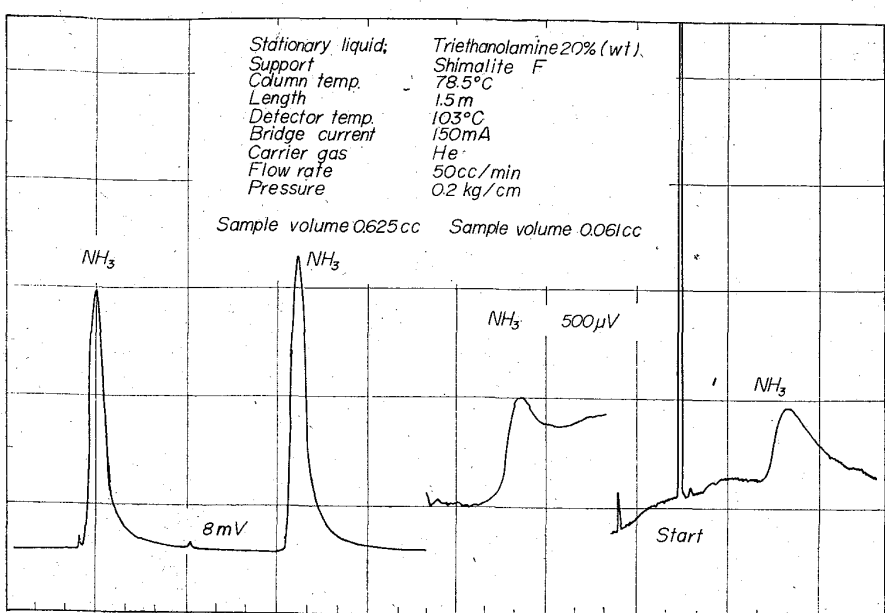


Fig. 3. Comparison of gaschromatographs obtained showing different forms.

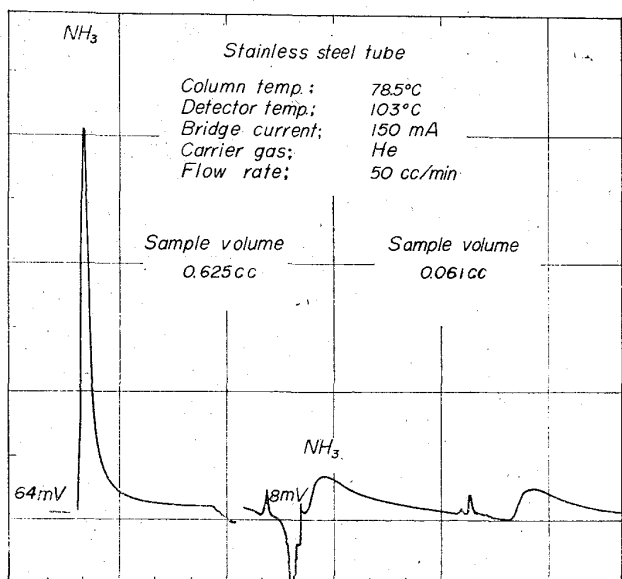


Fig. 4. Comparison of gaschromatographs obtained, showing different forms.

らかの原因があるように思われる、特に  $1 \cdot 12 \text{ cm}^3$ , 8mV の測定におけるピーク面積の標準偏差は著しく大きく、このような測定精度では、最確値を得ることは困難で、必要試験回数を多数おこなわなければならない。

このような現象の原因は種々上げられるが、主たる因子はカラムへの NH<sub>3</sub> の吸着が考えられる。本実験において、NH<sub>3</sub> ガス採取量を多くすると、測定誤差が小さくなり、Y/X の勾配もまた倍数関係から著しく偏らなくなっている。すなわち、NH<sub>3</sub> の吸着に伴う測定誤差の全体をしめる割合が減少している。

この点をたしかめるために、NH<sub>3</sub> ガス採取量をさらに少なくして実験をおこなつた。採取量は 0.625 と 0.061  $\text{cm}^3$  である。担体は前と同様、テフロン粉であるが、固

定相は分離能の高いトリエタノールアミン (20% 重量) を用いた。

Fig. 3 は、これらの結果を示すガスクロマトグラフの一例であるが、図の左側は  $0 \cdot 625 \text{ cm}^3$  (8 mV), 右側は  $0 \cdot 061 \text{ cm}^3$  (500  $\mu\text{V}$ ) のピークで、ピーク面積は右側が左側のピーク面積の約 1.6 倍に描かれなければならない。しかしながら、実験結果は図の示すとおり、明らかに右側の方が小さくなつておらず、しかもピークの形状が異り、標準偏差も著しく大きくなつている。

そこで、測定条件を Fig. 3 の場合と全く同じにして、カラムから固定相と担体を取り去り、NH<sub>3</sub> ガス採取量を 0.625 と  $0 \cdot 061 \text{ cm}^3$  として実験をおこなつたところ Fig. 4 のような結果を得た。測定条件から推定すると、右側のピークの面積は左側の約 0.78 の割合でなければならぬが、実験結果は 0.65 であつて、採取ガス量に對してかなりの量の NH<sub>3</sub> ガスが損失しているといわなければならない。このような傾向は NH<sub>3</sub> ガスの採取量の少ないほど著しくなつておらず、測定精度に著しい影響をおよぼしていることがわかる。以上のことから、上記のような NH<sub>3</sub> ガスの損失はカラム材質のステンレス鋼に原因があるようと思われる。

一般に、Fe または W の表面における NH<sub>3</sub> の吸着は H の解離を含んでおり、その程度は温度の上昇と共に増大するといわれておらず、NH<sub>3</sub> の吸着は H の解離とともに H<sub>2</sub> の発生がみとめられることが予想される。本実験においては、キャリヤーガスが He または H<sub>2</sub> であるので、H<sub>2</sub> との熱伝導度の差がほとんどないため検知はされていない。

以上の実験結果を総括すると、NH<sub>3</sub> のガスクロマトグラフィーには鉄合金以外の検知セルおよびカラムの材質が望ましく、特に微量の場合には考慮しなければならないようと思われる。

#### 4. 結 言

NH<sub>3</sub> のガスクロマトグラフィーを比較実験した結果、定量分析をおこなうにあたつて、次の知見を得た。

- (1) 担体にはテフロン粉がテーリングを少なくし、シャープな形状を描く。
- (2) Table 1 に掲げた固定相の中、表に示した順序で分離能が良い。
- (3) 微量 NH<sub>3</sub> の定量には、カラムおよび検知器セルは鉄合金であると NH<sub>3</sub> の吸着が生じ、しかも NH<sub>3</sub> の吸着量が多くなるにしたがつて吸着速度が増す傾向がみとめられ、他の適当な材質であることが望ましい。殊に極微量の場合には不可欠の要素のように考えられる。

#### 文 献

- 1) 高山: 化学の領域, 15 (1961) 5, p. 49
- 2) P. H. SMITH, et al.: Soil Science Society Proceedings, (1960), p. 111

- 3) A. T. JAMES, et al.: Biochem. J., 52 (1952), p. 238, Chem. Abst., 47 (1953) p. 446
- 4) R. ALEXANDER, et al.: Analy. Chem., 33 (1961) 12, p. 1805
- 5) 雨宮: ガスクロマトグラフィー, p. 176, 共立出版社
- 6) J. YANG, et al.: J. Am. Chem. Soc., 82 (1960), p. 4488
- 7) D. O. HAYWARD, and B. M. W. TRAPNELL: Chemisorption, (1964), p. 247, Butterworths London.

## (192) 微量NH<sub>3</sub>測定用ガラス質検知器 セルおよびカラムの試作について

(霧囲気中の微量NH<sub>3</sub>のガスクロマトグラフィーによる定量—Ⅱ)

富士製鉄, 中央研究所

工博 堀籠健男・工博 山崎桓友・○矢部克彦  
On a Trial Assembly of the Detector Cell  
and Column Made of Glass for Precise  
Measurement of NH<sub>3</sub>.

(Application of the gaschromatography to the  
determination of a minute amount of NH<sub>3</sub> in  
gaseous atmosphere—Ⅱ)

Dr. Takeo HORIGOME, Taketomo YAMAZAKI  
and Katsuhiko YABE.

### 1. 緒 言

前報において、微量NH<sub>3</sub>のガスクロマトグラフによる定量分析に鉄合金製のセルおよびカラムを使用した場合、測定精度が著しく悪くなることを報告し、その原因がNH<sub>3</sub>のステンレス鋼カラムへの吸着によるであろうことを述べた。したがつて、本究究の主たる目的である微量NH<sub>3</sub>の定量には鉄合金系の材質以外のNH<sub>3</sub>の吸着に対しては自由な材質を見出して適用することが望ましい。

本報告は、検知器セルおよびカラムに硼珪酸系ガラスを用いて、NH<sub>3</sub>の定量分析したところ満足すべき結果を得たので、その詳細を報告する。

### 2. 実験方法

ガスクロマトグラフの方式は前報と同じ気液相-熱伝導度型式であつて、試作した検知器セルおよびカラムの構造の概観はPhoto. 1のような形式のものである。Photo. 1中Aはセル、Bはカラムの部分でおのおのには同一管径で作られた蛇管の予熱管がついている、これらはともに高性能温度調整装置を付けた恒温槽に侵漬されており、完全な温度調節がおこなわれている、前者は水浴中にセル部だけさらにシリコーンオイルKF-54の油浴とした二重構造の恒温槽になつており、後者は植物性の油浴である。

セルの構造は半拡散型で、二本のWフィラメントを直列にして、二本一組を二対それぞれ検知ガス側とキャ

リヤーガス側とし、そのおのおのを並列にできるかぎり接近させて置いた。セルのWフィラメントの入る部分は2mmφの内径の薄肉細管で作り、予熱管も同一内径の薄肉管で作られている。カラムは内径5mmφの蛇管で全長は2mである。セルおよびカラムは全て、前にも記述したように硝子製である。

固定相はトリエチルアミンとし、担体には石英粉末

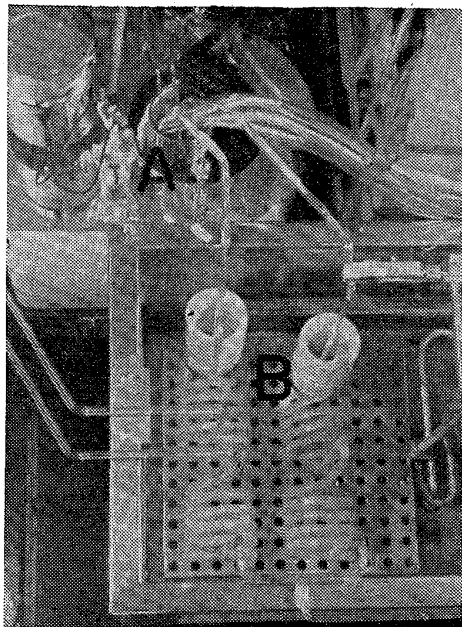


Photo. 1. Detector cell and column made of glass.  
A; Detector part, B; Column part.

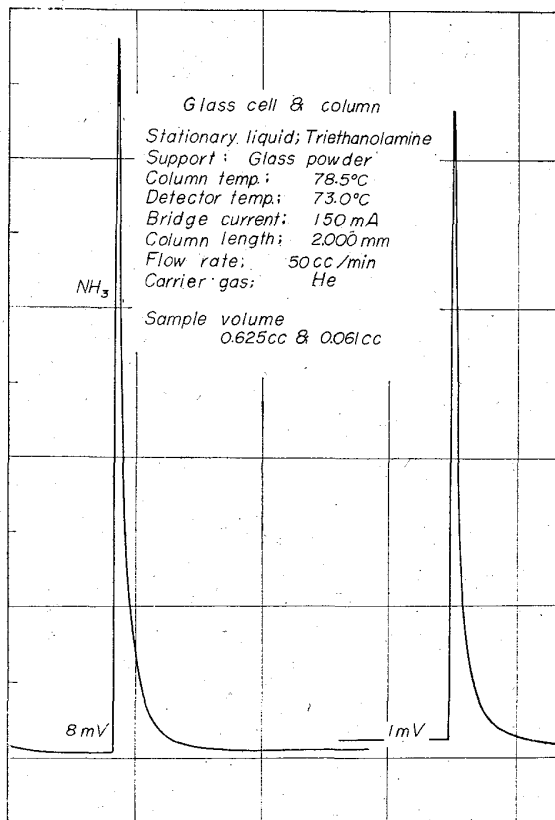


Fig. 1. Comparison of gaschromatograph.